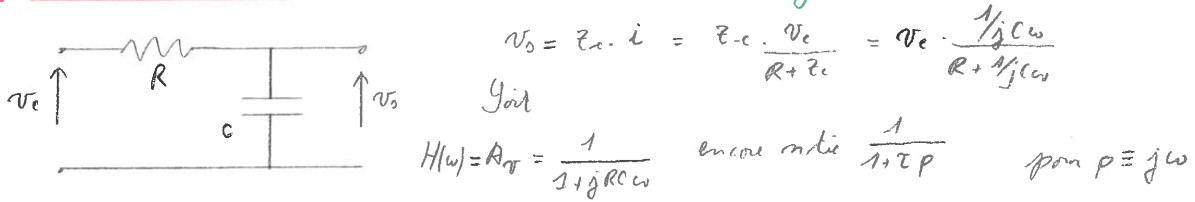


III. D.3.] Transmittance, fonction de fréquence : Diagrammes de Bode

La relation entrée-sortie Transmittance constitue une fonction de transfert au sens général c'est une fonction de la fréquence, compte tenu d'équations de comportement propres au système : **fonction à 2 variable complexes : [Module, φ] ou [Re, Im]**

En élim les eq. de comportement découlent des impédances de chaque dipôle élémentaire

a) Exemple de principe : cellule RC passe-bas du 1^{er} ordre intégrateur simple



$$|A_T| = \left| \frac{1}{1 + j\omega\tau} \right| = \frac{1}{\sqrt{1 + \omega^2\tau^2}} \quad \text{et} \quad \text{Phase} = \text{ATAN}(-\omega\tau) = -\text{ATAN}(\omega\tau) \quad \text{ATAN fonction impaire}$$

La transmittance exprimée en dB se rapporte au module (rapport de Valeurs RMS)

$$\text{on la note } G(j\omega) = 20 \log \left| \frac{V_{s, \text{RMS}}}{V_{e, \text{RMS}}} \right|$$

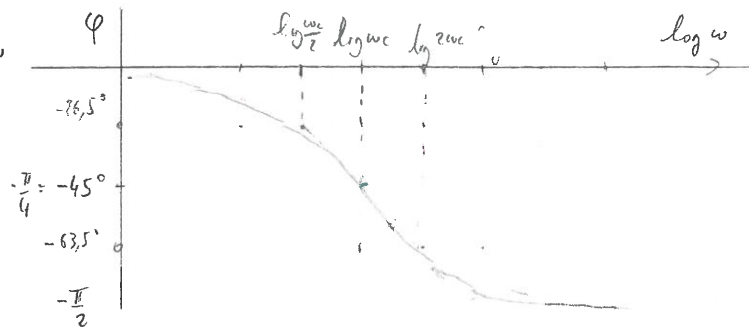
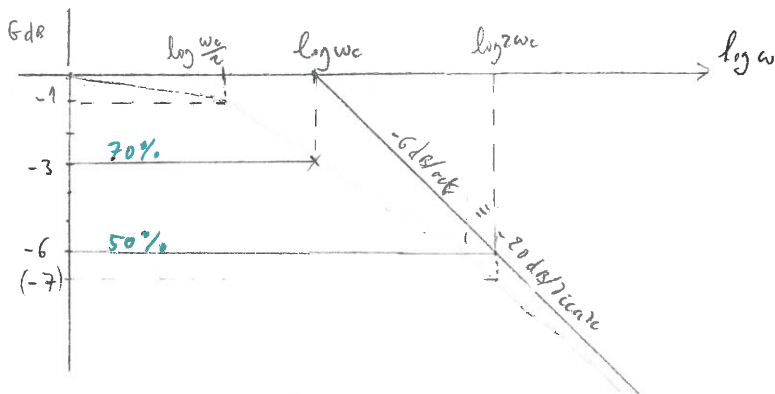
$$G_{dB} = 20 \log \frac{1}{\sqrt{1 + \omega^2\tau^2}} = -10 \log(1 + \omega^2\tau^2)$$

l'asymptote HF coupe l'axe $G=0$ en $\omega\tau=1$ soit $\omega_c = \frac{1}{\tau} \Rightarrow \frac{1}{2\pi \cdot RC} = f_c$
 ω_c fréquence angulaire de coupure

si $\omega \rightarrow 0$ $G \rightarrow 0$ Asymptote horizontale

si $\omega \gg$ $G \rightarrow -20 \log \omega\tau$ comportement asymptotique à -20 dB/décade ($\approx -6 \text{ dB/octave}$)

Pour la phase
 $\varphi = -\text{ATAN}(\omega\tau)$ $\omega \rightarrow 0 \Rightarrow \varphi \rightarrow 0$ $\omega = \omega_c \Rightarrow \text{ATAN}(1) = \frac{\pi}{4}$
 $\omega \rightarrow \infty \Rightarrow \varphi \rightarrow -\frac{\pi}{2}$

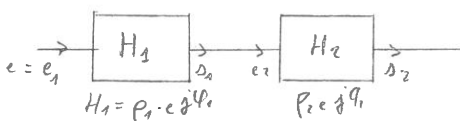


le lieu de bode peut s'obtenir par l'analyse harmonique : $\forall f$ par pas de Δf relatif à $\frac{V_0}{V_e}$

L'observation peut se faire par modulation (pilotage du G.B.F par signal externe : rampe, expo)

b) Composition relative des transmittances

Attention à la visualisation cascade de fonctions de transferts en automatique : les compléments ne doivent pas affecter les fonctions de transfert : Usuellement, on compose ainsi les éléments :



$$\text{si } \Delta_1(w) = H_1(w) \cdot e_1(w)$$

$$\Delta_2(w) = H_2(w) \cdot e_2(w) = H_2(w) \Delta_1(w) = H_2(w) \cdot H_1(w) \cdot e$$

$$H = \prod_{i=1}^n H_i = p_1 p_2 \dots p_n \cdot e \in \mathcal{P}_n$$

$$H_{dB} = 20 \log P \cdot P \cdot P = \sum_{i=1}^n H_{i,dB}$$

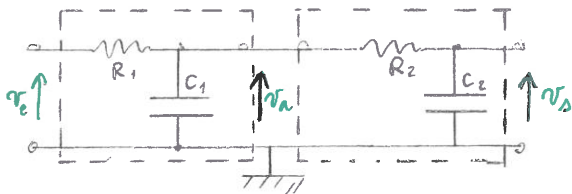
En fait par Def la transmittance de A est

$$H(\omega) = \left(\frac{V_2}{V_e} \right)_{i_2=0}$$

2 39

La composition standard (en terme de produit) de fonctions de transfert peut conduire à des erreurs si on oublie que les systèmes ne sont pas idéaux: échange de grandeur extensive et donc de charge en électricité: les transmittances ne se composent pas de manière absolue, par produit

Exemple: Soient 2 cellules RC passives montées en cascade



La fonction de transfert $H_1(\omega) = \frac{V_a}{V_e}$ est du

même type que $H_2(\omega) = \frac{V_2}{V_a}$

$$H = \frac{Z_c}{R + Z_c} = \frac{1/j\omega C}{R + 1/j\omega C} = \frac{1}{1 + j\omega RC}$$

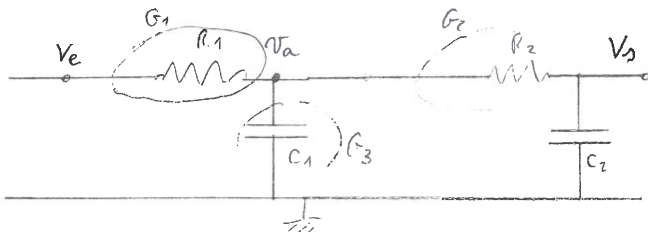
Au sens d'une composition de fonction de transfert H si la connexion de la seconde cellule ne perturbait en rien le comportement de la première, on aurait alors $H_{\text{rés}} = \frac{V_2}{V_e} = \frac{V_2}{V_a} \cdot \frac{V_a}{V_e} = H_2(\omega) \cdot H_1(\omega)$

$$\text{Soit } H(\omega) = \frac{1}{(1 + j\omega\tau_1)} \cdot \frac{1}{(1 + j\omega\tau_2)}$$

$$\text{Soit sur un tracé de Bode } H_{dB} = 20 \log \frac{1}{\sqrt{(1 + \omega^2\tau_1^2)(1 + \omega^2\tau_2^2)}}$$

$$H_{dB} = -10(\log(1 + \omega^2\tau_1^2) + \log(1 + \omega^2\tau_2^2)) \text{ avec si } \omega \rightarrow \infty \rightarrow -10(\log \omega^4 \cdot \tau_1^2 \tau_2^2) = [\text{cte} - 40 \log \omega] \Rightarrow -40 \text{ dB/déc}$$

En réalité, toute rigueur le potentiel au point A dépend de la présence de $(R_2 + Z_{C2})$ disposée en impédance de charge: le raisonnement précédent n'est correct que si $(R_2 + \frac{1}{j\omega C_2}) \rightarrow \infty$ (donc en relative B.F ou $C_2 \ll$



Détermination rigoureuse

Soit à utiliser Millman pour rechercher V_a

$$V_a = \frac{\sum V_k \cdot G_k}{\sum G_k} \quad \begin{matrix} G_1 = \frac{1}{R_1} & G_2 = \frac{1}{R_2} & G_3 = j\omega C_1 \\ V_a = \frac{\frac{V_e}{R_1} + \frac{V_2}{R_2} + 0 \cdot j\omega C_1}{\frac{1}{R_1} + \frac{1}{R_2} + j\omega C_1} \end{matrix} \quad \times R_1$$

$$\text{Après ce qui en sortie } V_2 = \frac{V_a}{(1 + j\omega\tau_2)} \Rightarrow V_a = V_2(1 + j\omega\tau_2) \quad (2)$$

$$(1) \quad V_a \cdot \frac{V_e + \frac{R_1}{R_2} V_2}{\frac{R_1}{R_2} + (1 + j\omega\tau_2)} \quad \Leftarrow$$

Egalisant (1) et (2)

$$V_2(1 + j\omega\tau_2) \left[\frac{R_1}{R_2} + (1 + j\omega\tau_1) \right] = V_e + \frac{R_1}{R_2} V_2 \Rightarrow V_2 \cdot \left[(1 + j\omega\tau_2) \left[\frac{R_1}{R_2} + (1 + j\omega\tau_1) \right] - \frac{R_1}{R_2} \right] = V_e$$

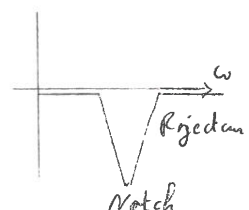
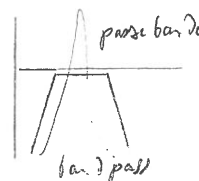
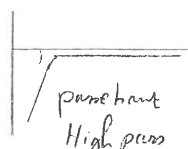
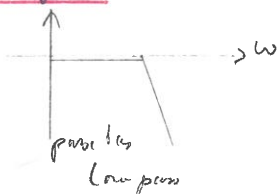
$$\text{Donc } H(\omega) = \frac{V_2}{V_e} = \frac{1}{(1 + j\omega\tau_1)(1 + j\omega\tau_2) + j\omega R_1 C_2}$$

la condition de simplification se réduit à

$C_2 \ll C_1 \Rightarrow$ composition par produit de 2 transmittances pures

on apparaît le 1er temps de retard $\tau_1 = R_1 C_1$
En fait si on développe
 $1 + j\omega\tau_1 + j\omega\tau_2 + \omega^2\tau_1\tau_2 + j\omega R_1 C_2$
 $= 1 + j\omega\tau_2 + j\omega R_1(C_1 + C_2) - \omega^2\tau_1\tau_2$

c) familles de filtres (Avec ou sans résonance) $|V_2/V_e| > 1$

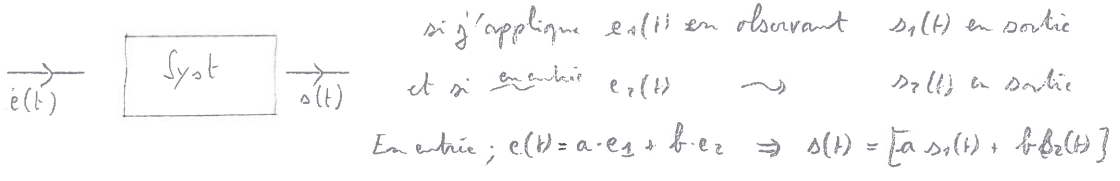


Chapitre II : Dualité [temps - fréquences] appliquée à l'étude des circuits et systèmes

II.1) Position du problème : Inconvénients, contingences de l'analyse harmonique

La connaissance du comportement fréquence d'un système caractérisé par son lieu de bode procède de l'analyse harmonique

On peut, en principe, réduire le lieu de bode la forme du signal de sortie pour tout signal périodique imposé à l'entrée [Hyp: système linéaire]



principe de base : Analyse Harmonique

Si le signal $e(t)$ est périodique il peut être développé en série de Fourier

$$e(t) = \frac{a_0}{2} + \sum_{n=1}^{\infty} [a_n \cos n\omega_0 t + b_n \sin n\omega_0 t]$$

effet moyenne

$$a_n = \frac{2}{T} \int_{-T/2}^{T/2} e(t) \cdot \cos n\omega_0 t \, dt \quad b_n = \frac{2}{T} \int_{-T/2}^{T/2} e(t) \cdot \sin n\omega_0 t \, dt$$

$$e(t) = \sum_{n=-\infty}^{+\infty} c_n \cdot e^{j n \omega_0 t + \psi_n} \quad \text{avec } c_n \in \mathbb{C} \text{ et } c_n = \frac{1}{2} (a_n - j b_n)$$

$$|c_n| = \frac{1}{2} \sqrt{a_n^2 + b_n^2} \quad \psi_n = -\arctan \frac{b_n}{a_n}$$

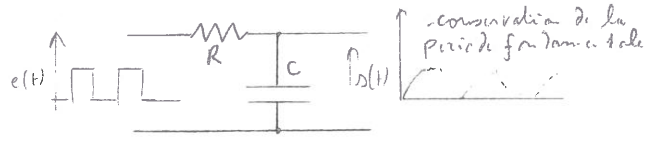
$$c_n = \frac{1}{T} \int_{-T/2}^{T/2} e(t) \cdot e^{-j n \omega_0 t} \, dt$$

Chaque composante est elle-même transformée par son propre compte à la fréquence angulaire ($n \omega_0$)

avec $H(n\omega_0) = |H_{n\omega_0}| \cdot e^{j\varphi(n)}$

$$s(t) = \sum_{n=-\infty}^{+\infty} |H_{n\omega_0}| \cdot \sqrt{a_n^2 + b_n^2} \cdot e^{j(n\omega_0 t + \psi_n + \varphi_n)}$$

la sortie résulte de la recombinaison des composantes transformées par $H(n\omega_0)$



En général une harmonique mesurée de $n=40$ est suffisante pour reconstruire un créneau

Contingences d'une simulation de comportement

→ Après avoir caractérisé $H(\omega)$ si (bata noire)

- 1) il faut calculer $a_n, b_n \Rightarrow c_n = |c_n| \cdot e^{j\psi_n}$
- 2) faire le produit $|c_n| \cdot |H_n|$, la somme $\sum \psi_n + \varphi_n$,
- 3) reconstruire le signal de sortie
- 4] Et Quid si le signal n'est pas périodique?

(Manip de le domaine temps: dériver tout t pour un pt frq)
 (passage de le domaine fréquence)
 traitement de le domaine fréquence
 (retour de le domaine temps)
 Big Hassle

Nous allons rechercher un outil totalement localisé de le domaine temps, à même de simuler plus facilement le comportement de circuits systèmes en temps réel.

II.A.2) Réponses temporelles caractéristiques

En instrumentation on s'intéresse aux réponses (évolutive) à 2 signaux types, en vue d'identifier les circuits et systèmes

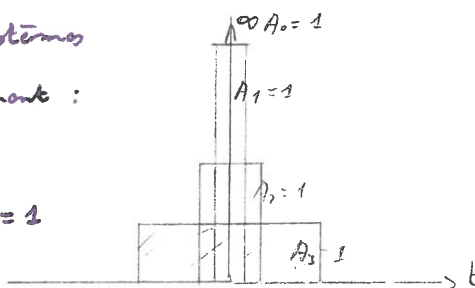
ces signaux sont respectivement :

① l'impulsion de Dirac

caractérisée par $\int_{-\infty}^{+\infty} \delta(t) dt = 1$

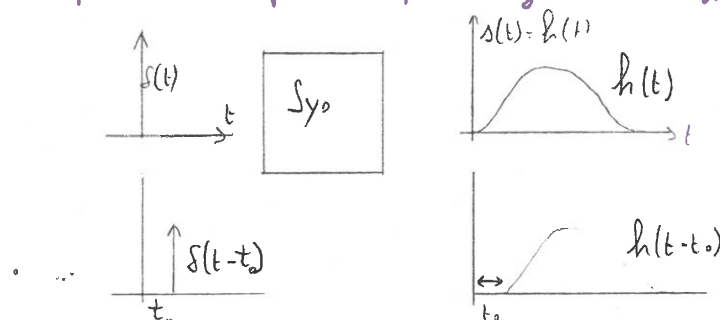
durée $\varepsilon \rightarrow 0$

Amplitude ∞



Perception relative en fonction
du "zoom" temps vs. Amplitude

La réponse à l'impulsion par un système est appelée réponse impulsionnelle



La sortie non ∞ brève est due aux
phénomènes de stockage énergétique

avec aussi dispersion du contenu fréquentiel
restriction de HF filtrage

En audio un "plip" amplifié s'affaiblit d'autant plus vite que le B.P est élevée

En optique un point devrait être transformé en 1 point image (télescope, scope) mais en fait

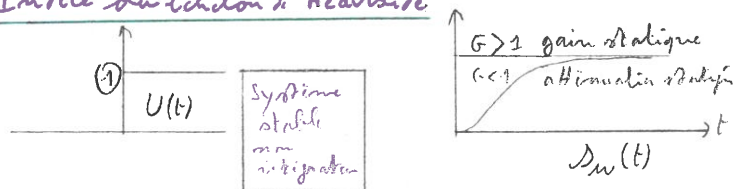
c'est une tache qu'on observe (limitation du pouvoir séparateur angle minimal entre 2 pts résolus)

Remarque: En réalité l'impulsion "mathématique" est inapplicable sur un système physique

réel compte tenu de l'Amplitude ∞ : (limite à la linéarité, destruction, limite de Volim)

On identifie plutôt un système par l'intégration de $\delta(t)$: Echelon de Heaviside

② Indice ou échelon de Heaviside



On montrera que :

$$D_u(t) = \int_0^t h(t) dt$$

En pratique c'est ainsi que l'on

$$\text{détérmine } h(t) = \frac{d D_u(t)}{dt}$$

En mesure, intérêt car :

$$H(j\omega) = \mathcal{L} h(t) = \mathcal{L} \frac{d D_u(t)}{dt} = p \cdot \mathcal{L} D_u(t)$$

③ Signal de rampe :

proviens de l'intégration de l'échelon : Utilisé en pratique pour "aligner" la fonction dérivée

de régulateurs : P.I.D

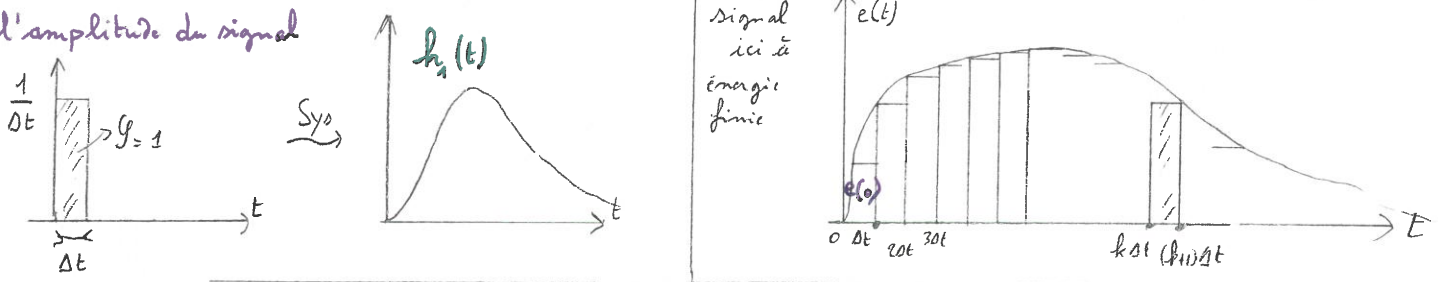
IV. A.3) Réponse temporelle par l'équation de convolution

a) Préliminaire du Pb: Étant au préalable enregistré (ou déterminé) la réponse impulsionnelle d'un système on recherche un traitement simple, exclusivement propre au domaine temps, permettant de simuler (à t présent) en temps réel l'expression du signal de sortie, pour un signal d'entrée donné

(Remarque: tous les déterminations par le D fréquence demandent l'historique total du signal $(\forall t)$ pour 1pt fréquence)

b) modélisation du signal d'entrée

Un signal d'entrée $e(t)$ peut se décomposer en une suite d'impulsions de largeur Δt et de hauteur égale à l'amplitude du signal



Soit $h_1(t)$ la réponse à une impulsion de surface unité telle que : largeur Δt , hauteur $1/\Delta t$

alors $(h_1(t) \cdot \Delta t)$ est la réponse à une impulsion telle que : largeur Δt , hauteur unité

Donc pour une amplitude $e(0)$ à t initial : $s_0 = \underbrace{e(0)}_{\text{amplitude de } e(t) \text{ par le 1er échantillon}} \cdot \underbrace{h_1(t) \cdot \Delta t}_{\text{réponse au pulse de largeur } \Delta t, \text{ hauteur unité}}$

c) Eq. de convolution

De la même manière en $t = \Delta t$ pour l'échantillon suivant:

$$s(\Delta t) = e(\Delta t) \cdot h_1(t - \Delta t) \cdot \Delta t$$

Soit au cours du temps :

$$\begin{aligned} s(0) &= e(0) \cdot h_1(t) \cdot \Delta t \\ s(\Delta t) &= e(\Delta t) \cdot h_1(t - \Delta t) \cdot \Delta t \\ s(k \cdot \Delta t) &= e(k \cdot \Delta t) \cdot h_1(t - k \cdot \Delta t) \cdot \Delta t \end{aligned}$$

le système étant linéaire, on peut lui appliquer le théorème de superposition et le sortie est la somme des contributions de chaque $e(k \cdot \Delta t)$ jusqu'à t couru d'ici

$s(t) = \sum_{k=0}^l s(k \cdot \Delta t) = \sum_{k=0}^l e(k \cdot \Delta t) \cdot h_1(t - k \cdot \Delta t) \cdot \Delta t$ où $l = \frac{t}{\Delta t}$ le n° d'échantillon arrivé au temps t
Lorsque $\Delta t \rightarrow 0$; $h_1(t)$ tend vers la réponse au signal de Dirac (à surface unité): la somme discrète tend vers l'intégrale dite de convolution :

$$s(t) = \int_0^t e(\tau) \cdot h(t - \tau) \cdot d\tau$$

Compte tenu de la causalité du système on peut aussi écrire

$$s(t) = \int_{-\infty}^{+\infty} e(\tau) \cdot h(t - \tau) d\tau$$

la somme discrète peut comporter $\sum_{k=-\infty}^{+\infty} e(k \cdot \Delta t) \cdot h_1(t - k \cdot \Delta t) \cdot \Delta t$
 $h_1(t < 0) = 0$ par causalité $\Rightarrow h_1(t - k \cdot \Delta t) = 0$ pour $k \cdot \Delta t > t \Leftrightarrow t < k \cdot \Delta t$

On écrit symboliquement l'Eq. de convolution: $s(t) = e(t) * h(t)$ * opérateur de convolution

* est commutatif, associatif, distributif

$a(t) * [b(t) + c(t)] = a(t) * b(t) + a(t) * c(t)$ en raison de la linéarité du système

IV. B] Circuits et systèmes dans le domaine fréquence

IV. B.1) Une vision de la problématique

Les systèmes sollicités par des signaux périodiques \Rightarrow analyse harmonique

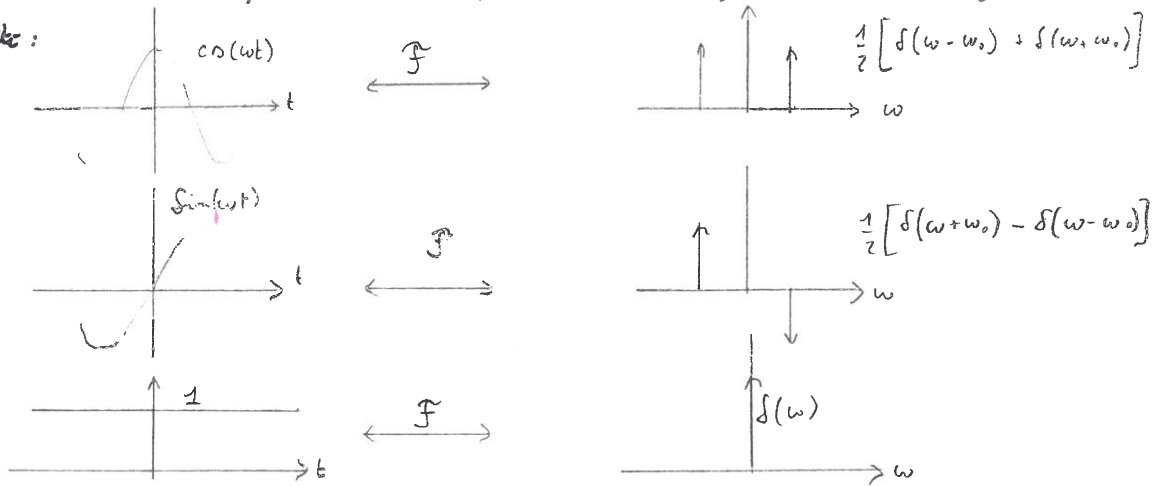
La non périodicité d'un signal conduit à étendre le développement de Fourier (discret, répétitif et raies séparées par $\Delta f = \text{fondamentale} = \frac{1}{T_{\text{période de répétition}}}$) : si $T \rightarrow \infty$ le spectre devient continu et la recherche d'un point fréquence

$$\left. \begin{array}{l} \text{résulte de la transformée de Fourier} \end{array} \right\} F_{\omega}(f(t)) = \int_{-\infty}^{+\infty} f(t) \cdot e^{-j\omega t} dt$$

L'outil est très évolué si l'on ne considère plus de fonctions mais de distributions

En effet, l'écriture en tant que telle ne traite pas directement $f(t) = \sin \omega t$ et $g(t) = \cos \omega t$

En réalité :



Remarque : F^{-1} : $f(t) = \frac{1}{2\pi} \int_{-\infty}^{+\infty} F(j\omega) \cdot e^{j\omega t} d\omega$

IV. B.2) Analyse par la transformation de Laplace : généralité et définition

Les systèmes physiques étant causaux, on s'intéresse à une transformée $\mathcal{D}t \rightarrow \mathcal{D}f_{\text{eq}}$ où les signaux sont causaux : La convergence est forcée artificiellement par un facteur d'atténuation réel α

Remarque : L'idée sous-jacente de transformations $t \leftrightarrow f$ consiste à associer un point freq à toute l'histoire $\forall t$ du signal, et réciproquement de restituer un point temps compte tenu de tout le spectre fréquentiel

Hypothèses : le signal $f(t)$ est causal $\Rightarrow t < 0 \Rightarrow f(t) = 0$ et $t \geq 0$ $f(t)$ quelconque

Notant p la variable de Laplace : $p = \alpha + j\omega$ $f(t) \xrightarrow[\mathcal{L}^{-1}]{\mathcal{L}} F(p)$

$$F(p) = \mathcal{L}(f(t)) = \int_0^{\infty} f(t) \cdot e^{-pt} dt$$

Laplace ne conserve pas l'unité si $f(t)$ en \mathbb{N} $F(p)$ en \mathbb{Z}

La transformation inverse peut s'exprimer : $f(t) = \frac{1}{2\pi j} \int_{c-j\infty}^{c+j\infty} F(p) \cdot e^{pt} dp = \mathcal{L}^{-1} F(p)$

Il est de loin plus aisé d'utiliser une table des divers transformations que de recourir au calcul direct

IV.8.3) Rappel des propriétés fondamentales de la transformée de Laplace

a) Propriété physique fondamentale

On admettra ds un premier temps, et c'est tout l'intérêt de la transformation de Laplace que si $h(t)$ est la réponse impulsionnelle, alors $H(p)$ est la fonction de transfert

$$h(t) \xrightleftharpoons[\mathcal{L}^{-1}]{\mathcal{L}} H(p) \quad \left. \begin{array}{l} \text{en identifiant } p \leftrightarrow j\omega \\ \text{régime isomorphe} \end{array} \right\} \begin{array}{l} \text{régime isomorphe} \\ \text{régime cis-jordal} \end{array} \quad \begin{array}{l} \text{temps} \\ \text{fréquence} \end{array}$$

b) Propriétés mathématiques de base (6)

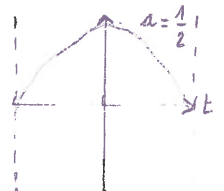
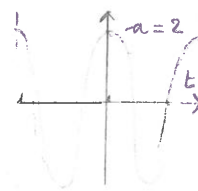
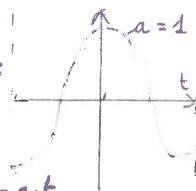
1] Linéarité de la transformation :

$$\mathcal{L}[f(t)] = \int_0^{\infty} f(t) e^{-pt} dt$$

$$\mathcal{L}[\sum a_i f_i(t)] = \int_0^{\infty} \sum a_i f_i(t) e^{-pt} dt = \sum a_i \int_0^{\infty} f_i(t) e^{-pt} dt = \sum a_i \mathcal{L}[f_i(t)]$$

2] Changement de l'échelle du temps

soit $t' = a \cdot t$ soit en visualisant :



$a \Rightarrow$ vitesse de lecture après enregistrement

$$\text{soit } \mathcal{L}[f(t')] = \int_0^{\infty} f(a \cdot t) \cdot e^{-pt} dt \quad \text{avec } t' = a \cdot t$$

$$= \int_{0/a}^{\infty/a} f(t') \cdot e^{-p \cdot \frac{t'}{a}} \cdot \frac{dt'}{a} = \frac{1}{a} \int_0^{\infty} f(t') \cdot e^{-\frac{p}{a} t'} dt' = \frac{1}{a} \mathcal{L}[f(t)]_{\frac{p}{a}}$$

$$\text{D'où si } f(t) \xrightarrow{\mathcal{L}} F(p)$$

$$\text{alors } f(a \cdot t) \xrightarrow{\mathcal{L}} \frac{1}{a} \cdot F\left(\frac{p}{a}\right)$$

un étirement ds le domaine temps (vision grand angle du signal)
conduit à une contraction (zoom) ds le domaine fréquence

Remarque : il faut $a > 0$ sinon le chgt de variable aux bornes \int_0^{∞} pas défini pour la transformée de Laplace

3] Translation du signal dans le temps

Le signal $f(t)$ passe ds une ligne à retard et devient $f'(t) = f(t - t_0)$: Transf. du New signal ?

$$\mathcal{L}[f'(t)] = \int_0^{\infty} f(t - t_0) \cdot e^{-pt} dt = \int_0^{\infty} f(t - t_0) \cdot e^{-p(t - t_0 + t_0)} dt(t - t_0) \xrightarrow{\text{avec } d(t - t_0) = dt}$$

$$= e^{-pt_0} \int_0^{\infty} f(t - t_0) e^{-p(t - t_0)} dt(t - t_0)$$

$$\mathcal{L}[f(t - t_0)] = e^{-pt_0} \cdot \mathcal{L}[f(t)] = e^{-pt_0} \cdot F(p)$$

$$f(t - t_0) \xrightleftharpoons[\mathcal{L}^{-1}]{\mathcal{L}} e^{-pt_0} \cdot F(p)$$

4] Translation du signal en fréquence : Décalage spectral

Soit à rechercher la transformée en un point décalé de ω_0 soit $p' = p - p_0$ et recherche de $F(p')$

$$F(p - p_0) = \int_0^{\infty} f(t) \cdot e^{-(p - p_0)t} dt = \int_0^{\infty} e^{p_0 t} \cdot f(t) \cdot e^{-pt} dt$$

Soit $F(p - p_0) = \mathcal{L}[e^{p_0 t} \cdot f(t)]$ } Sens physique :
Une modulation du signal à la fréquence ω_0 conduit à une translation du spectre de ω_0 .

Remarque : les propriétés 5] et 6] sont respectivement définies quant aux transformations des dérivées et intégrales d'un signal : ce sont les 2 propriétés qui justifient l'emploi du calcul symbolique de Heaviside (dit méthode de Laplace)

Les eq. de comportement des systèmes sont souvent des eq. différentielles : Dans le domaine Fréquence ces eq. se transforment en équations polynomiales plus faciles à résoudre

5] Transformée de la dérivée d'un signal

Hypothèse mathématique restrictive : On suppose la convergence des calculs pour les signaux physiques envisagés $f(t)$ causale

$f(t)$ converge à l' ∞
 $f'(t)$ converge à l' ∞ } malgré la précaution $p = \alpha + j\omega$ $\alpha > 0$ forçant la convergence

Méthode : On exprime la transformée de la dérivée en exprimant par parties la transformation de Laplace

$$\begin{aligned} \mathcal{L} f(t) &= \int_0^{\infty} f(t) \cdot e^{-pt} \cdot dt = -\frac{1}{p} \int_0^{\infty} f(t) \cdot d e^{-pt} \\ &= -\frac{1}{p} \left[f(t) \cdot e^{-pt} \right]_0^{\infty} + \frac{1}{p} \int_0^{\infty} e^{-pt} \cdot d f(t) \quad \text{avec } d f(t) = f'(t) \cdot dt \text{ par déf d'une différentielle} \\ &\quad \text{à } t \rightarrow \infty \text{ avec } \alpha > 0 \rightarrow 0 \end{aligned}$$

$$\Rightarrow \mathcal{L} f'(t) = \frac{1}{p} \cdot f(0^+) + \frac{1}{p} \int_0^{\infty} f'(t) e^{-pt} dt = \frac{1}{p} f(0^+) + \frac{1}{p} \mathcal{L} f'(t)$$

Il en découle l'importante propriété

$$\boxed{\mathcal{L} f'(t) = p \cdot \mathcal{L} f(t) - f(0^+)}$$

si à l'origine le signal est nul, la transformée de la dérivée est le simple produit de p par la transformée

Corollaire : Si tous les dérivées sont sommables et nuls à l'origine jusqu'à l'ordre m

$$\mathcal{L} f^{(m)}(t) = p^m \cdot \mathcal{L} f(t)$$

Si l'on a pas la condition de nullité à l'origine alors :

$$\mathcal{L} f^{(m)}(t) = p^m \mathcal{L} f(t) - p^{(m-1)} f(0^+) - p^{(m-2)} f'(0^+) - \dots - p^{(m-m)} f^{(m-1)}(0^+) \quad (m < \infty)$$

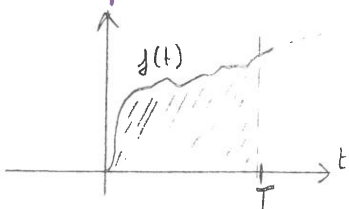
6] Transformée de l'intégrale d'un signal

Propriété : Si un signal $f(t)$ est causal, son intégration (signal intégral) l'est aussi à fortiori

$$\text{soit } g(\tau) = \int_0^{\tau} f(t) dt \quad \text{avec } f(t) \text{ causale c.a. } f(t) = 0 \text{ si } t < 0$$

$$\text{pour } t < 0 \text{ la surface sous la courbe est nulle} \Rightarrow \left. \begin{array}{l} 1) g(\tau) \text{ est causale} \\ 2) g(0^+) = 0 \end{array} \right\}$$

si $f(t)$ ne présente pas de singularité à l'origine alors $g(\tau)$ est causale et continue



avec $g(T) = \int_0^T f(t) dt$ $g'(t) = f(t)$

on applique le théorème de la transformée de la dérivée vu précédemment soit $\mathcal{L}\{f'(t)\} = p \cdot \mathcal{L}\{f(t)\} - f(0^+)$

soit $\mathcal{L}\{g'(t)\} = \mathcal{L}\{f(t)\} = p \mathcal{L}\{g(t)\} - 0$

d'où : $\mathcal{L}\left[\int_0^t f(t) dt\right] = \frac{1}{p} \cdot \mathcal{L}\{f(t)\}$

L'intégration dans le domaine temps est équivalente à la division par $(p) = j\omega$ dans le domaine fréquence

7] Propriété annexe : Dérivée en p de la transformée

Rappel : la propriété de dérivabilité de réels s'étend au corps des complexes en propriété d'holomorphie

Soit $\mathcal{L}\{f(t)\} = F(p) = \int_0^\infty f(t) \cdot e^{-pt} \cdot dt$ $F(p)$ holomorphe $p = \alpha + j\omega$

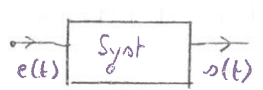
on recherche $\frac{d(F(p))}{dp} = \int_0^\infty f(t) \cdot (-t) \cdot e^{-pt} dt$ $\left. \begin{aligned} &\frac{d(F(p))}{dp} = \mathcal{L}\{(-t) \cdot f(t)\} \text{ et par extension} \\ &\frac{d^m F}{dp^m} = \mathcal{L}\{(-t)^m \cdot f(t)\} \end{aligned} \right\}$

$\frac{d^m F}{dp^m} = \mathcal{L}\{(-t)^m \cdot f(t)\}$

A la multiplication par t de f(t) la transformée de Laplace associe la dérivation en p

III. 8.3. c) Le théorème de Borel-Plancherel

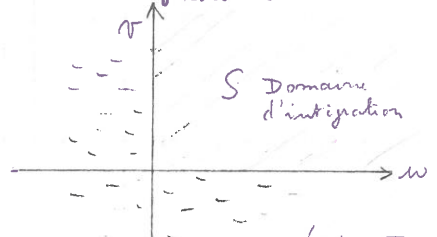
La Transf de Laplace relie les domaines temps et fréquence. D'autre part dans le D. temps uniquement les signaux d'entrée et de sortie sont reliés par l'éq. de convolution : $s(t) = \int_0^t e(\tau) \cdot h(t-\tau) d\tau$



$s(t) = e(t) * h(t)$

Nous $E(p) = \mathcal{L}\{e(t)\}$ et $H(p) = \mathcal{L}\{h(t)\}$

on appellera fonction de transfert la transformée de la réponse impulsionnelle



Il s'agit à étudier, dans le D. fréquence le produit $E(p) \cdot H(p)$

$E(p) \cdot H(p) = H(p) \cdot E(p) = \mathcal{L}\{h(t)\} \cdot \mathcal{L}\{e(t)\}$

avec w et $v > 0$
variables muettes

$= \int_0^\infty h(w) e^{-p \cdot w} dw \cdot \int_0^\infty e(v) \cdot e^{-p \cdot v} dv$
 $= \int_S h(w) \cdot e(v) \cdot e^{-(w+v)p} \cdot dw \cdot dv$

on pose $w + v = x$
 $v = \tau$

On suppose le changement de variable réalisable sans aborder le pb du calcul du Jacobien

$\begin{vmatrix} \frac{\partial x}{\partial w} & \frac{\partial x}{\partial v} \\ \frac{\partial \tau}{\partial w} & \frac{\partial \tau}{\partial v} \end{vmatrix} = \begin{vmatrix} 1 & 1 \\ 0 & 1 \end{vmatrix} = 1 \cdot 1 - 0 = 1$ (Max T1 p108)

$E(p) \cdot H(p) = \iint_S h(x-\tau) \cdot e(\tau) \cdot e^{-p \cdot x} \cdot dx \cdot d\tau$

avec $h(x-\tau) = 0$ si $x < \tau$ soit $x > \tau$

$= \int_0^\infty \left[\int_0^x h(x-\tau) \cdot e(\tau) \cdot d\tau \right] \cdot e^{-p \cdot x} \cdot dx$ \rightarrow on reconnaît l'Eq. de convolution

D'où

$E(p) \cdot H(p) = \mathcal{L}\{e(t) * h(t)\} = \mathcal{L}\{s(t)\} = S(p)$ \Rightarrow $\left. \begin{aligned} &\text{Domaine Fréq : } S(p) = E(p) \cdot H(p) \\ &\text{Domaine temps : } s(t) = e(t) * h(t) \end{aligned} \right\}$

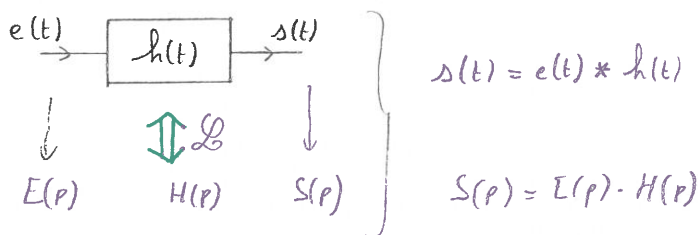
Conclusion : A l'opération de convolution dans le domaine temps, la transformation de Laplace associe la multiplication dans le domaine fréquence

En résumé le Théorème de Bred-Plancherel peut s'exprimer :

$$\left. \begin{array}{l} e(t) * h(t) \xrightleftharpoons[\mathcal{L}^{-1}]{\mathcal{L}} E(p) \cdot H(p) \\ \text{On montre à même que formellement} \\ x(t) \cdot y(t) \xrightleftharpoons[\mathcal{L}^{-1}]{\mathcal{L}} X(p) * Y(p) \end{array} \right\} \begin{array}{l} \text{Produit} \\ \text{temporel} \end{array} \xrightleftharpoons[\mathcal{L}]{\mathcal{L}} \begin{array}{l} \text{Opérateur de} \\ \text{Convolution} \end{array}$$

IV.3.3.d) Le Théorème de Bred-Plancherel et son application aux systèmes physiques

Les systèmes physiques opèrent par convolution dans le domaine temps
et opèrent par multiplication dans le domaine fréquence



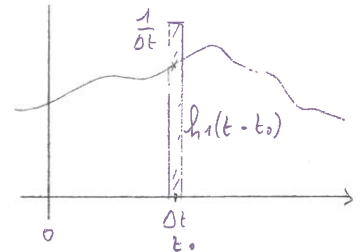
la sortie égale l'entrée convoluée
à la réponse impulsionnelle

Le spectre de sortie égale le produit simple
du spectre d'entrée par la fonction de transfert

o Cas particulier fondamental : $e(t) = \text{Impulsion de Dirac } \delta(t)$

D'une manière générale $\int_{-\infty}^{+\infty} f(x) \cdot \delta(x - x_0) \cdot dx = f(x_0)$

$$= \int_{t_0 - \epsilon}^{t_0 + \epsilon} f(t) \cdot \frac{1}{\Delta t} \cdot \Delta t$$



D'où la transformée de l'impulsion

$$\mathcal{L}(\delta(t)) = \int_0^{\infty} \delta(t) \cdot e^{-pt} \cdot dt = (e^{-p \cdot 0}) = 1$$

par conséquent :

$$\mathcal{L}^{-1}(S(p)) = s(t) = \mathcal{L}^{-1}(H(p)) = h(t)$$

on a bien par conséquent

$$h(t) \xrightleftharpoons[\mathcal{L}^{-1}]{\mathcal{L}} H(p)$$

la fonction de transfert du système est
la transformée de la réponse impulsionnelle

$\delta(t)$ ayant 1 pour transformée montre la particularité de ce signal qui contient toute la fréquence
du spectre : Du Régime Permanent aux plus HF : en terme d'analyse harmonique chaque point fréquence
($p = j\omega$) entrant à valeur unité ressort à valeur $H(p)$

Sur le plan pratique impossibilité de systèmes physiques à réagir linéairement à l'amplitude $\rightarrow \infty$
d'une impulsion de largeur $\rightarrow 0$: Dirac ne constitue qu'une idéalisation mathématique

En terme de mesure, on travaille le comportement du système par la mesure
d'une réponse indicielle

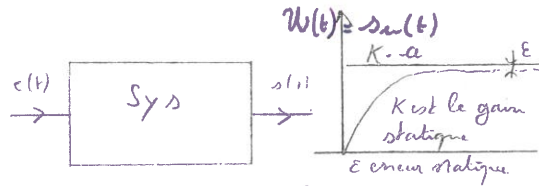
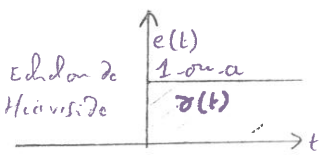
II.3.4) Caractérisation des circuits et systèmes par la mesure de leur réponse indicielle : Identification des systèmes

Ayant vu les contingences restrictives de mesure de la réponse impulsionnelle on voudrait cependant déterminer $h(t)$ sans imposer $\delta(t)$

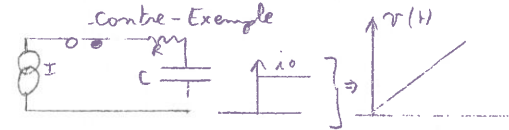
Il est en effet stratégique de connaître $h(t)$ car $h(t) \xrightarrow{\mathcal{L}} H(j\omega)$ } connaissance de la fonction de transfert, sans recourir à l'analyse harmonique

La réponse indicielle permet de revenir à $h(t)$

Mode opératoire :



Hypothèse : Stabilité du système au sens où la réponse à un signal d'énergie finie est à énergie finie



Si le système ne supprime pas la composante continue, K est le gain statique soumis à l'échelon unité

En pratique, l'échelon n'est pas à valeur unité, mais le système est linéaire

Détermination formelle

Notons $U(p)$ la réponse indicielle de la domaine fréquentiel : $U(p) = S_w(p) = E(p) \cdot H(p)$

connaître $U(p) \Rightarrow$ calcul de $P(p)$ transformée de Laplace de $\sigma(t)$

noté $P(p) = \mathcal{L}(\sigma(t))$

$$\mathcal{L}(\sigma(t)) = \int_0^{\infty} \sigma(t) \cdot e^{-pt} dt = -\frac{1}{p} [e^{-pt}]_0^{\infty} = 1/p \Rightarrow U(p) = \frac{1}{p} \cdot H(p) \quad (1)$$

réponse indicielle en p

on dispose maintenant d'une relation accédant à $h(t)$ au moyen de la réponse indicielle

$$(1) \Rightarrow H(p) = p \cdot U(p) \Rightarrow \text{par } \mathcal{L}^{-1}; \quad h(t) = \mathcal{L}^{-1}[p \cdot U(p)]$$

Le théorème de la transformée de la dérivée exprime :

$$\mathcal{L}(f'(t)) = p \cdot \mathcal{L}(f(t)) - f(0^+) \quad : \text{Si le système est au repos initialement } f(0^+) = 0 \quad U(0) = 0$$

D'où :

$$h(t) = \mathcal{L}^{-1}[p \cdot U(p)] = \mathcal{L}^{-1}\left[\mathcal{L}\left(\frac{dU(t)}{dt}\right)\right] \Rightarrow \boxed{h(t) = \frac{dU(t)}{dt}}$$

Identification par exploitation de la réponse indicielle

La réponse impulsionnelle est égale à la dérivée de la réponse indicielle : Une réponse indicielle se mesure facilement et ne pose pas le problème de non linéarité

L'expression directe de la recherche de $U(p)$, réponse indicielle en p fait l'objet

des méthodes d'identification : (En Automatique linéaire : modèle de BROIDA, STREJC)

De manière générale : si $s(t) = e(t) * h(t)$ on définit le principe d'une déconvolution

que l'on écrit $e(t) = s(t) * h(t)$ } Mais les Eq. de déconvolution n'ont pas toujours de solution
ou $h(t) = s(t) * e(t)$ } ou en possèdent une infinité

L'identification n'est pas souvent réalisable car $s(t)$ et $e(t)$ résultent de mesures entachées d'erreurs \Rightarrow divergence ou oscillation de la solution

• propriété réciproque: La réponse impédancielle est définie par l'intégrale de la réponse impulsionnelle
En effet selon (1): $\mathcal{L}W(t) = U(p) = E(p) \cdot H(p) = \frac{1}{p} \cdot H(p)$

$$\text{Soit } W(t) = \mathcal{L}^{-1} \frac{1}{p} \cdot H(p)$$

avec d'autre part le théorème sur la transformée de l'intégrale $\mathcal{L} \int_0^t f(t) dt = \frac{1}{p} \cdot \mathcal{L}f(t)$

$$\text{soit } \frac{1}{p} H(p) = \frac{1}{p} \cdot \mathcal{L}h(t) = \mathcal{L} \int_0^t h(t) dt$$

$$\text{donc } W(t) = \mathcal{L}^{-1} \left(\mathcal{L} \left(\int_0^t h(t) dt \right) \right) \Rightarrow W(t) = \int_0^t h(t) dt$$

IV. B.5) Transformées de Laplace particulières

a) Dirac: déjà calculée

$$\rightarrow \mathcal{L}(\delta) = 1$$

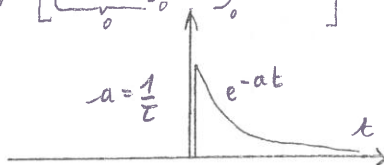
b) Echelon de Heaviside: déjà calculée: $\frac{1}{p}$ c'est aussi: $W(t) = \int_0^t \delta(t) dt \Rightarrow \frac{1}{p} \mathcal{L}(\delta) = \frac{1}{p} \rightarrow \mathcal{L}W(t) = \frac{1}{p}$

c) Rampe à pente a : c'est l'intégrale de $a \cdot W(t) \Rightarrow \frac{1}{p} \cdot a \cdot \frac{1}{p} \rightarrow \mathcal{L}(at) = \frac{a}{p^2}$

$$\text{car: } \int_0^\infty (at) \cdot e^{-pt} dt = -\frac{a}{p} \int_0^\infty t d e^{-pt} = -\frac{a}{p} \left[\underbrace{t e^{-pt}}_0^\infty - \int_0^\infty e^{-pt} dt \right] = \frac{a}{p} \left[\frac{1}{p} e^{-pt} \right]_0^\infty = -\frac{a}{p^2} (0 - 1) = \frac{a}{p^2}$$

d) Signal exponentiel causal: $f(t) = \sigma(t) \cdot e^{-\frac{t}{\tau}}$

$$\mathcal{L}(e^{-at}) = \int_0^\infty e^{-at} \cdot e^{-pt} dt = \int_0^\infty e^{-(a+p)t} dt$$



$$= \frac{-1}{a+p} \left[e^{-(a+p)t} \right]_0^\infty = \frac{1}{a+p}$$

$$\text{soit } \mathcal{L} e^{-at} = \frac{1}{a+p} \quad \text{et si } a = \frac{1}{\tau} \quad \mathcal{L} e^{-\frac{t}{\tau}} = \frac{1}{\frac{1}{\tau} + p} = \tau \cdot \frac{1}{1 + \tau p}$$

$$\rightarrow \mathcal{L} e^{-at} = \frac{1}{a+p}$$

$$\rightarrow \mathcal{L} e^{-\frac{t}{\tau}} = \tau \cdot \frac{1}{1 + \tau p}$$

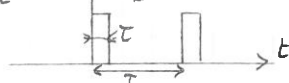
e) Signal créneau de durée τ amplitude a

$$\mathcal{L}f(t) = \int_{-\infty}^{+\infty} f(t) e^{-pt} dt = \int_0^\tau a \cdot e^{-pt} dt = \frac{a}{p} [e^{-pt}]_0^\tau = -\frac{a}{p} [e^{-p\tau} - 1] = \frac{a}{p} [1 - e^{-p\tau}]$$



$$\rightarrow \mathcal{L}f(t) = \frac{a}{p} \cdot (1 - e^{-p\tau})$$

f) Signal créneau récurrent de période T



on étendit d'alors la transformée à tout signal $f(t)$ récurrent si le motif $m(t) \xrightarrow{\mathcal{L}} M(p)$

pour le 1^{er} décalage $M_1(p) = e^{-pT} \cdot M(p)$ (théorème sur le décalage de temps)

2^{ème} décalage $M_2(p) = e^{-2pT} \cdot M(p)$

Pour tous les composants: $F(p) = M(p) \cdot (1 + e^{-pT} + e^{-2pT} + \dots)$

$$\text{avec } 1 + x + x^2 + \dots = \frac{1}{1-x}$$

$$F(p) = \frac{M(p)}{1 - e^{-pT}}$$

transformée du signal $f(t)$ périodique de période T ayant $M(p)$ pour transformée de motif

Pour le motif créneau $M_f(p) = \frac{a}{p} \cdot (1 - e^{-p\tau}) \Rightarrow$ signal périodique $\Rightarrow \mathcal{L}f(t) = \frac{a}{p} \cdot \frac{1 - e^{-p\tau}}{1 - e^{-pT}}$

2) signaux sinus et cosinus causaux

Compte tenu de la transformée du signal amorti causal $\mathcal{L}(e^{-at}) = \frac{1}{p+a}$

on pose $a = +j\omega \Rightarrow e^{-at} \rightarrow \frac{1}{p+j\omega}$

$b = -j\omega \Rightarrow e^{-bt} \rightarrow \frac{1}{p-j\omega}$

$e^{j\omega t} = \cos \omega t + j \sin \omega t$

$e^{-j\omega t} = \cos \omega t - j \sin \omega t$

$\Rightarrow \cos \omega t = \frac{1}{2} (e^{j\omega t} + e^{-j\omega t}) \xrightarrow{\mathcal{L}} \frac{1}{2} \left[\frac{1}{p-j\omega} + \frac{1}{p+j\omega} \right] = \frac{p}{p^2 + \omega^2} = \mathcal{L}(\cos \omega t \cdot \delta(t))$

$\Rightarrow \sin \omega t = \frac{1}{2j} (e^{j\omega t} - e^{-j\omega t}) \xrightarrow{\mathcal{L}} \frac{1}{2j} \left[\frac{1}{p-j\omega} - \frac{1}{p+j\omega} \right] = \frac{\omega}{p^2 + \omega^2} = \mathcal{L}(\delta(t) \cdot \sin \omega t)$

II.3.6) Application de Laplace à l'étude de circuits en régime transitoire

a) cellule d'intégration RC

o Réponse indicielle de la cellule RC

Après fermeture de K : $E = R \cdot i(t) + V_c = R \cdot i(t) + \frac{1}{C} \int_0^t i(t) \cdot dt$

que l'on écrit en dérivant en $(0^+ = t)$ $R \cdot \frac{di(t)}{dt} + \frac{i(t)}{C} = 0$ ou $\frac{di(t)}{dt} + \frac{i}{RC} = 0$ } Eq. du 1^{er} ordre à coeff constant
Solution générale $i(t) = i_0 e^{-t/\tau}$ } \Rightarrow Syst. du 1^{er} ordre

satisfait la condition limite $t \rightarrow 0 \quad i(0^+) \rightarrow i_0 = \frac{E}{R}$ } $i(t) = \frac{E}{R} \cdot e^{-t/\tau}$ d'où $v_d = V_c = E - R i(t) = E - E \cdot e^{-t/\tau}$
Soit $v_d = E (1 - e^{-t/\tau})$ réponse indicielle de la cellule RC

o Réponse indicielle de la cellule RC par la méthode de Laplace

L'interrupteur \Rightarrow indice de tension $\Rightarrow \delta(t) \cdot E = R \cdot i(t) + \frac{1}{C} \int_0^t i(t) \cdot dt$ } Recherche de $i(t) \Rightarrow$ on divise par R
D'où $\frac{1}{R} \cdot \frac{E}{p} = \frac{I(p)}{1} + \frac{1}{RC} \cdot \frac{1}{p} \cdot \frac{1}{p} = I(p) \cdot \left(1 + \frac{1}{\tau p}\right)$ } Puis on applique Laplace
 $\Rightarrow I(p) = \frac{E}{R} \cdot \frac{1}{p} \cdot \frac{1}{\left(1 + \frac{1}{\tau p}\right)} = \frac{E}{R} \cdot \frac{1}{\left(p + \frac{1}{\tau}\right)}$

Compte tenu de la Transformée du signal amorti causal $\mathcal{L}^{-1} \frac{1}{a+p} = e^{-at} \Rightarrow i(t) = \frac{E}{R} \cdot e^{-t/\tau}$

Soit comme précédemment $v_d = E (1 - e^{-t/\tau})$

o Réponse indicielle par la méthode de Laplace appliquée à la fonction de transfert

La fonction de transfert s'écrit $\frac{v_d(j\omega)}{v_e(j\omega)} = H(j\omega) = \frac{1/j\omega}{R + 1/j\omega} = \frac{1}{1 + jRC\omega} \Rightarrow H(p) = \frac{1}{1 + \tau p}$ } transformée de la réponse impulsionnelle

La transformée de la réponse indicielle est transformée de l'intégration de $h(t)$ } $U(p) = \frac{1}{p} \cdot H(p) = \frac{1}{p(1 + \tau p)}$ } avec $U(t) = \mathcal{L}^{-1} \frac{1}{p(1 + \tau p)}$

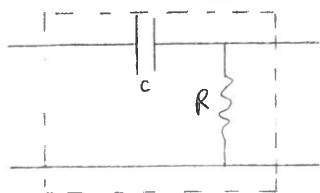
avec $\frac{1}{1 + \tau p} \xrightarrow{\mathcal{L}^{-1}} e^{-t/\tau} \Rightarrow \frac{1}{1 + \tau p} \xrightarrow{\mathcal{L}^{-1}} \frac{1}{\tau} \cdot e^{-t/\tau}$ et $\frac{1}{p} \cdot \frac{1}{(1 + \tau p)} \xrightarrow{\mathcal{L}^{-1}} \int_0^t \frac{1}{\tau} \cdot e^{-t/\tau} dt = \frac{1}{\tau} \cdot (-\tau) \left[e^{-t/\tau} \right]_0^t = -1 \left(e^{-t/\tau} - 1 \right)$
réponse à l'indice de 1 volt : $U(t) = 1 \cdot (1 - e^{-t/\tau})$ \diamond

On a mis en évidence la transformée remarquable suivante :

$\mathcal{L}(\delta(t) \cdot [1 - e^{-t/\tau}]) = \frac{1}{p} - \frac{1}{p(1 + \tau p)} = \frac{1 + \tau p - \tau p}{p(1 + \tau p)} = \frac{1}{p(1 + \tau p)}$

Remarque : La fonction de transfert $H(p) = \frac{1}{1 + \tau p}$ pour $\tau p \gg 1 \rightarrow \frac{1}{\tau} \cdot \frac{1}{p} = \text{cte} \cdot \frac{1}{p}$ } d'où la terminologie cellule d'intégration

1) cellule de dérivation : traitement par la fonction de transfert pour identifier la réponse indicielle



$$H(p) = \frac{R}{R + \frac{1}{j\omega C}} = \frac{jRC\omega}{1 + jRC\omega} = \frac{\tau p}{1 + \tau p} \quad \text{pour } \tau p \ll 1$$

$$H(p) \rightarrow \tau \cdot p \quad \text{dérivateur pur}$$

$H(p)$ est la transformée de la réponse impulsionnelle

$U(p)$ transformée de la réponse indicielle : $U(p) = \frac{1}{p} \cdot H(p)$

$$U(p) = \frac{\tau}{1 + \tau p} \Rightarrow \mathcal{L}^{-1} \frac{\tau}{1 + \tau p} = e^{-t/\tau} \quad \text{pour un indice de 1 Volt}$$

$$u(t) = E \cdot e^{-\frac{t}{\tau}} \quad \text{réponse à un indice de } E \text{ volt}$$

c) Exemple de recherche d'une réponse à un signal de rampe : pour le circuit RC intégrateur

$$\text{soit } e(t) = a \cdot t \Rightarrow E(p) = \frac{a}{p^2} \quad \text{avec } H(p) = \frac{1}{1 + \tau p} \quad \text{et } S(p) = E(p) \cdot H(p)$$

$$\text{Avec } \mathcal{L}^{-1} \frac{1}{p(1 + \tau p)} = 1 - e^{-t/\tau} \Rightarrow \frac{1}{p} \cdot \frac{1}{p(1 + \tau p)} \xrightarrow{\mathcal{L}^{-1}} \int_0^t (1 - e^{-t/\tau}) dt = t - \int_0^t e^{-t/\tau} dt = t - (-\tau [e^{-t/\tau}]_0^t) = t - (-\tau (e^{-t/\tau} - 1))$$

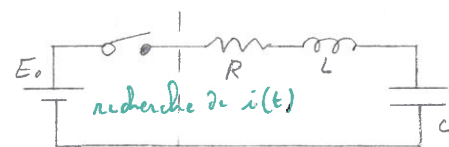
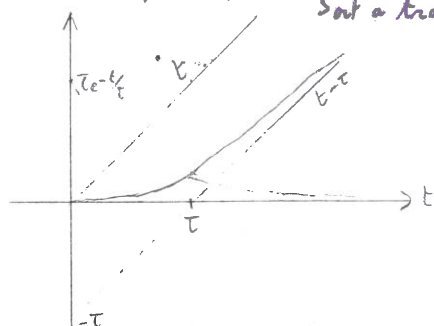
$$\text{D'où } \mathcal{L}^{-1} \frac{a}{p^2(1 + \tau p)} = a(t - \tau + \tau e^{-t/\tau}) \quad \text{soit } S(p) = a \cdot \frac{1}{p^2} \cdot \frac{1}{(1 + \tau p)}$$

Soit à tracer l'évolution pour $a = 1 \text{ V/sec}$ ($s(t)$ en Volt)

$$s(t) = (t - \tau) + \tau e^{-t/\tau}$$

on peut s'aider en considérant les conditions limites

$$t \rightarrow 0 \Rightarrow s(t) \rightarrow -\tau \quad t \rightarrow \infty \Rightarrow s(t) \rightarrow t - \tau \quad \text{droite asymptotique}$$



d) Réponse indicielle du circuit RLC série

signal d'entrée : indice de tension
signal de sortie : courant $i(t)$

$$I(p) = \frac{E(p)}{R + jL\omega + \frac{1}{j\omega C}} \quad \text{avec } E(p) = \frac{1}{p} \quad I(p) = \frac{E_0}{p(R + Lp + \frac{1}{Cp})}$$

$$I(p) = \frac{E_0}{L} \cdot \frac{1}{p^2 + \frac{R}{L}p + \frac{1}{LC}} = \frac{E_0}{L} \cdot \frac{1}{(p+a)(p+b)} = \frac{E_0}{L} \cdot \left(\frac{A}{(p+a)} + \frac{B}{(p+b)} \right)$$

$$\text{D'où } I(p) = \frac{E_0}{L} \cdot \frac{1}{(a-b)} \cdot \left[\frac{1}{(p+b)} - \frac{1}{(p+a)} \right] \Rightarrow i(t) = \frac{E_0}{L} \cdot \frac{1}{(a-b)} \cdot (e^{-bt} - e^{-at}) \quad \text{avec } (a, b) \text{ réels ou complexes}$$

Considérant le dénominateur de $k(p)$: si $\Delta = \left(\frac{R}{L}\right)^2 - \frac{4}{LC} > 0$ soit $\frac{R}{L} > \frac{2}{\sqrt{LC}}$ alors a et b réels et

$$a = \frac{1}{2} \left(\frac{R}{L} + \sqrt{\left(\frac{R}{L}\right)^2 - \frac{4}{LC}} \right) \quad (a-b) = \sqrt{\left(\frac{R}{L}\right)^2 - \frac{4}{LC}}$$

$$b = \frac{1}{2} \left(\frac{R}{L} - \sqrt{\left(\frac{R}{L}\right)^2 - \frac{4}{LC}} \right) \quad L(a-b) = \sqrt{R^2 - \frac{4L}{C}}$$

$$\text{Soit pour } a \text{ et } b \text{ réels } i(t) = \frac{E_0}{\sqrt{R^2 - \frac{4L}{C}}} \cdot (e^{-bt} - e^{-at})$$

$$i(t) = \frac{E_0}{\sqrt{\frac{4L}{C} - R^2}} \cdot \frac{1}{\tau} \cdot \left(e^{-\frac{R}{2L}t} \cdot e^{j\frac{\sqrt{4L}{C} - R^2}{2}t} - e^{-\frac{R}{2L}t} \cdot e^{-j\frac{\sqrt{4L}{C} - R^2}{2}t} \right)$$

$$i(t) = \frac{E_0}{\sqrt{\frac{4L}{C} - R^2}} \cdot e^{-\frac{R}{2L}t} \cdot \frac{1}{\tau} \left(e^{j\frac{\sqrt{4L}{C} - R^2}{2}t} - e^{-j\frac{\sqrt{4L}{C} - R^2}{2}t} \right) \quad \text{avec } \frac{1}{\tau} (e^{j\pi} - e^{-j\pi}) = 2 \sin \pi$$

$$\text{D'où } i(t) = E_0 \cdot \sqrt{\frac{C/L}{1 + \frac{R^2 C}{4L}}} \cdot e^{-\frac{R}{2L}t} \cdot \sin \left(\frac{1}{\tau} \cdot \sqrt{1 + \frac{R^2 C}{4L}} \cdot t \right)$$

